

М. Э. Каримова,<sup>a</sup> Д. А. Душамов,<sup>a,b</sup> Р. Ш. Курязов,<sup>b</sup>  
Н. С. Мухамедов<sup>b\*</sup>

## БЕНЗАЗОЛЫ

### 4.\* СИНТЕЗ И ХИМИЧЕСКИЕ ПРЕВРАЩЕНИЯ 6-ХЛОРСУЛЬФОНИЛБЕНЗОКСАЗОЛИН-2-ОНОВ

Из бензоксазолин-2-она и его 3-метилзамещённого обработкой хлорсульфоновой кислотой синтезированы соответствующие 6-хлорсульфонилпроизводные. Воздействием на полученные соединения воды и других нуклеофильных агентов (алифатических и гетероциклических аминов) получены 2-оксобензоксазолин-6-сульфокислоты и ряд их амидов, а восстановлением с помощью  $\text{SnCl}_2 \cdot 2\text{H}_2\text{O}$  – 6-меркаптобензоксазолин-2-оны.

**Ключевые слова:** амиды 2-оксобензоксазолин-6-сульфокислот, 6-меркаптобенз-оксазолин-2-оны, 2-оксобензоксазолин-6-сульфокислоты, 6-хлорсульфонилбенз-оксазолин-2-оны, восстановление, нуклеофильное замещение, электрофильное замещение.

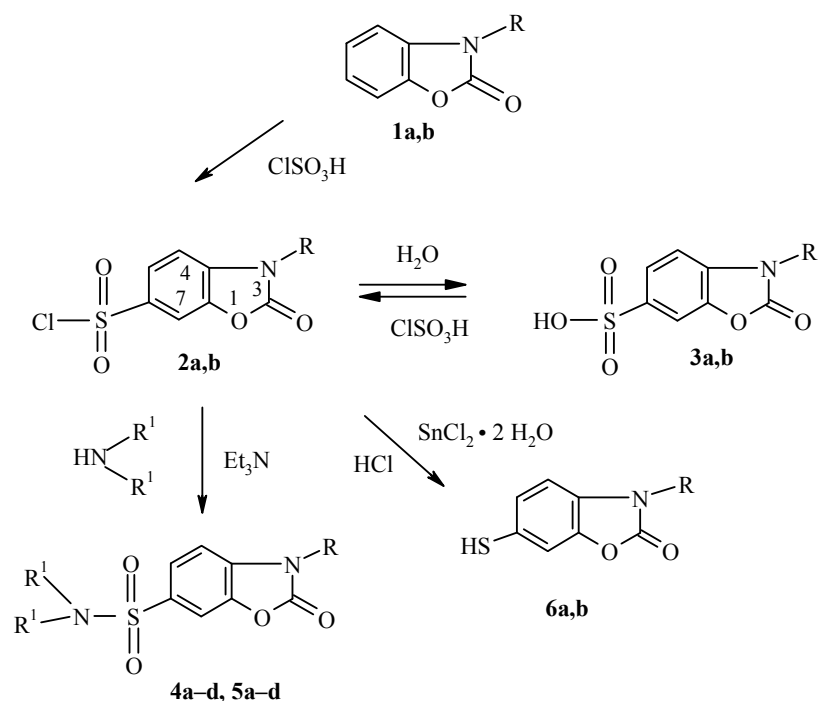
Большой интерес к производным бензоксазолин-2-она обусловлен широким спектром их биологической активности [2–6]. От содержания некоторых соединений указанной группы в ряде культур зависит устойчивость последних к грибковым заболеваниям [2–4]. Бензоксазолин-2-он был выделен из проростков ржи [5], а 6-метокси- и 6,7-диметоксибензоксазолин-2-оны – из корней *Coix Lacryma-jobi* [4] и *Scaporia dulcis* [6].

В продолжение исследований по электрофильному замещению в ряду азотсодержащих гетероциклических соединений [7–10], в настоящей работе изучены хлорсульфонилирование бензоксазолин-2-она (**1a**) и его 3-метилзамещённого **1b**, а также некоторые химические превращения полученных продуктов, позволившие синтезировать ряд новых производных соединений **1a,b**.

При взаимодействии бензоксазолин-2-онов **1a,b** с хлорсульфоновой кислотой вне зависимости от соотношения реагентов образуются соответствующие 6-хлорсульфонилбензоксазолин-2-оны **2a,b**. Однако промежуточно образующиеся сульфокислоты **3a,b** выделить не удается, вероятно, из-за лёгкости нуклеофильного замещения гидроксильной группы на атом хлора, связанной с повышенным положительным зарядом атома серы сульфогруппы. Наиболее высокие выходы продуктов **2a,b** (75, 78% соответственно) были достигнуты при использовании пятикратного избытка хлорсульфоновой кислоты.

\* Сообщение 3 см. [1].

Сульфокислоты **3a,b** получены с высокими выходами (табл. 1) гидролизом соединений **2a,b** соответственно. В свою очередь сульфокислоты **3a,b** при взаимодействии с хлорсульфоновой кислотой гладко превращаются с почти количественными выходами в их хлорсульфонилпроизводные **2a,b**.



**1–3, 6 a** R = H, **b** R = Me; **4, 5 a, b** R = H, **c, d** R = Me; **4 a, c** R<sup>1</sup> = Et, **b, d** R<sup>1</sup> = n-Bu; **5 a, c** R<sup>1+R<sup>2</sup> = (CH<sub>2</sub>)<sub>5</sub>, **b, d** R<sup>1+R<sup>2</sup> = (CH<sub>2</sub>)<sub>2</sub>O(CH<sub>2</sub>)<sub>2</sub></sup></sup>

Реакции сульфохлоридов **2a,b** с алифатическими и гетероциклическими аминами легко протекают при комнатной температуре в ацетоне в присутствии Et<sub>3</sub>N и приводят к соответствующим амидам **4a–d, 5a–d** сульфокислот **3a,b**. Так, с алифатическими аминами осуществлён синтез dialкиламидов **4a–d**, а с гетероциклическими аминами – пиперидином и морфолином – получены 6-пиперидиносульфонил- (**5a,c**) и 6-морфолиносульфонилзамещённые **5b,d** бензоксазолин-2-онов **1a,b**.

Восстановление соединений **2a,b** с помощью SnCl<sub>2</sub>·2H<sub>2</sub>O в соляной кислоте привело к соответствующим 6-меркаптобензоксазолин-2-онам **6a,b**.

Состав и строение синтезированных соединений **2–6** подтверждены результатами элементного анализа, а также данными ИК, ЯМР <sup>1</sup>H спектров и масс-спектров.

Для ИК спектров соединений **2–5** характерными являются полосы поглощения валентных асимметрических и симметрических колебаний групп SO<sub>2</sub> в области 1100–1400 см<sup>−1</sup>. В случае сульфокислот **3a,b** имеются также полосы поглощения валентных колебаний групп S–O (600–700 см<sup>−1</sup>) (табл. 2). В спектрах тиолов **6a,b** вместо указанных выше полос наблюдаются полосы поглощения валентных колебаний групп SH (2500–2600 см<sup>−1</sup>). Для спектров соединений **2–6** характерно также поглощение в областях 805–825 и 870–880 см<sup>−1</sup> (неплоские деформационные колебания групп CH 1,2,4-тризамещённого бензольного кольца).

Таблица 1

**Физико-химические характеристики синтезированных соединений 2–6**

Соединение	Брутто-формула	Найдено, % Вычислено, %, N	T. пл., °C*	Выход, %
<b>2a</b>	C <sub>7</sub> H <sub>4</sub> ClNO <sub>4</sub> S	—	180–182**	75***
<b>2b</b>	C <sub>8</sub> H <sub>6</sub> ClNO <sub>4</sub> S	5.83 5.65	128–130	78***
<b>3a</b>	C <sub>7</sub> H <sub>5</sub> NO <sub>5</sub> S	6.34 6.51	175–177	90
<b>3b</b>	C <sub>8</sub> H <sub>7</sub> NO <sub>5</sub> S	5.83 6.11	150–152	87
<b>4a</b>	C <sub>11</sub> H <sub>14</sub> N <sub>2</sub> O <sub>4</sub> S	10.62 10.37	161–163	63
<b>4b</b>	C <sub>15</sub> H <sub>22</sub> N <sub>2</sub> O <sub>4</sub> S	8.69 8.58	105–107	64
<b>4c</b>	C <sub>12</sub> H <sub>16</sub> N <sub>2</sub> O <sub>4</sub> S	10.03 9.85	148–150	84
<b>4d</b>	C <sub>16</sub> H <sub>24</sub> N <sub>2</sub> O <sub>4</sub> S	8.04 8.23	103–105	65
<b>5a</b>	C <sub>12</sub> H <sub>14</sub> N <sub>2</sub> O <sub>4</sub> S	9.61 9.92	225–227	67
<b>5b</b>	C <sub>11</sub> H <sub>12</sub> N <sub>2</sub> O <sub>5</sub> S	10.13 9.85	226–228	65
<b>5c</b>	C <sub>13</sub> H <sub>16</sub> N <sub>2</sub> O <sub>4</sub> S	9.14 9.45	210–212	61
<b>5d</b>	C <sub>12</sub> H <sub>14</sub> N <sub>2</sub> O <sub>5</sub> S	9.33 9.43	238–240	52
<b>6a</b>	C <sub>7</sub> H <sub>5</sub> NO <sub>2</sub> S	8.64 8.38	278–280	51
<b>6b</b>	C <sub>8</sub> H <sub>7</sub> NO <sub>2</sub> S	7.56 7.73	200–202	63

\* Растворитель для перекристаллизации: гептан (соединение **2b**), вода (соединения **3a,b**), этанол (соединения **4a,b, 5a,b**), водный этанол (соединения **4c,d, 5c,d**), уксусная кислота (соединения **6a,b**).

\*\* Т. пл. 180–182 °C [11].

\*\*\* Выход по методике А.

В масс-спектрах соединений **2–6** имеются пики молекулярных ионов и фрагментов, полностью подтверждающие предложенные структуры. В сульфохлориде **2a** в первую очередь происходит разрыв связи S–Cl с образованием фрагмента с *m/z* 198, а в случае метильного производного **2b** отщепляется метильная группа с возникновением фрагмента с *m/z* 232.

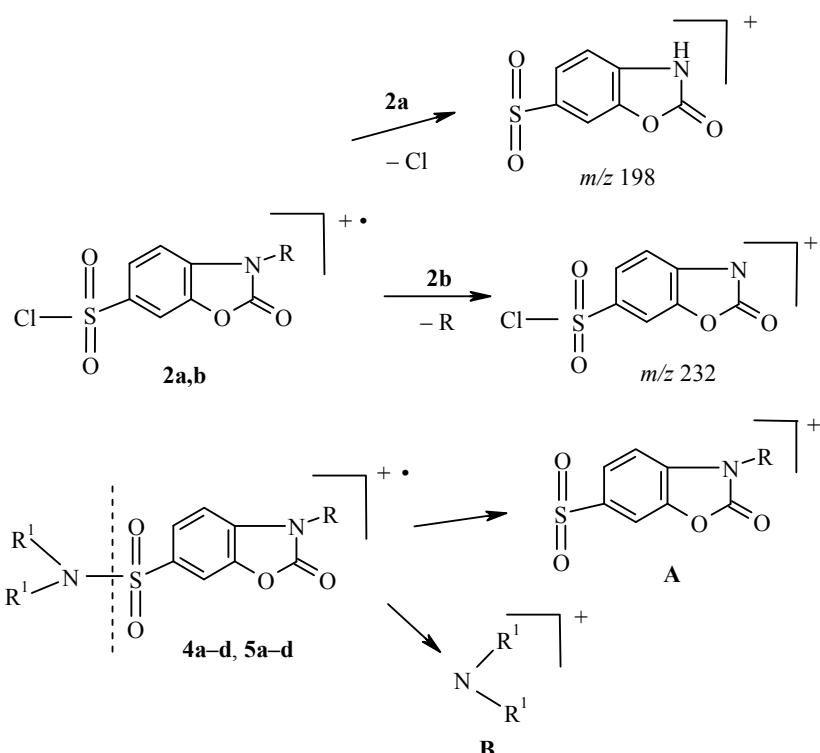


Таблица 2

**Спектральные характеристики синтезированных соединений **2–6****

Соединение	ИК спектр, $\nu$ , $\text{cm}^{-1}$				Масс-спектр, $m/z$ ( $I_{\text{отн.}} \%$ )
	$\text{SO}_2(\text{as})$	$\text{SO}_2(\text{s})$	C–S	S–O, S–H	
<b>2b</b>	1365	1170	720	–	249 [ $\text{M}]^+$ (73) (для $^{35}\text{Cl}$ )
<b>3a</b>	1275	1075	749	655	215 [ $\text{M}]^+$ (38)
<b>3b</b>	1250	1030	743	665	229 [ $\text{M}]^+$ (44)
<b>4a</b>	1367	1176	744	–	270 [ $\text{M}]^+$ (27)
<b>4b</b>	1358	1162	748	–	326 [ $\text{M}]^+$ (19)
<b>4c</b>	1343	1166	752	–	284 [ $\text{M}]^+$ (39)
<b>4d</b>	1346	1160	748	–	340 [ $\text{M}]^+$ (28)
<b>5a</b>	1342	1167	749	–	282 [ $\text{M}]^+$ (100)
<b>5b</b>	1342	1168	748	–	284 [ $\text{M}]^+$ (44)
<b>5c</b>	1344	1154	743	–	296 [ $\text{M}]^+$ (100)
<b>5d</b>	1348	1154	743	–	298 [ $\text{M}]^+$ (47)
<b>6a</b>			752	2500	167 [ $\text{M}]^+$ (39)
<b>6b</b>			749	2510	181 [ $\text{M}]^+$ (44)

Масс-спектры сульфамидов **4**, **5**, независимо от природы заместителя R и характера замещения аминогруппы, показывают однотипную фрагментацию с разрывом связи  $\text{SO}_2\text{-N}(\text{R}^1)_2$  и образованием фрагментов **A** [ $\text{M}^+\text{-N}(\text{R}^1)_2$ ] и **B** [ $\text{N}(\text{R}^1)_2$ ]. В случае соединений **5a,c** максимальной интенсивностью обладают пики молекулярных ионов  $\text{M}^+$ , а в соединениях **4a-d** и **5b,d** – пики фрагментов **A**.

Таблица 3

**Спектры ЯМР  $^1\text{H}$  соединений 2–6**

Соединение	Химические сдвиги, $^1\text{H}$ , $\delta$ , м. д. ( $J$ , Гц)
<b>2b</b>	7.81 (1H, д, $J_{7,5} = 1.6$ , H-7); 7.69 (1H, д, д, $J_{5,7} = 1.6$ , $J_{5,4} = 8.6$ , H-5); 7.05 (1H, д, $J_{4,5} = 8.6$ , H-4); 3.39 (3H, с, 3-CH <sub>3</sub> )
<b>3a</b>	9.15 (1H, с, NH); 7.83 (1H, д, $J_{7,5} = 1.8$ , H-7); 7.72 (1H, д, д, $J_{5,7} = 1.8$ , $J_{5,4} = 8.7$ , H-5); 7.01 (1H, д, $J_{4,5} = 8.7$ , H-4)
<b>3b</b>	7.80 (1H, д, $J_{7,5} = 1.8$ , H-7); 7.71 (1H, д, д, $J_{5,7} = 1.8$ , $J_{5,4} = 8.7$ , H-5); 7.02 (1H, д, $J_{4,5} = 8.7$ , H-4); 3.38 (3H, с, 3-CH <sub>3</sub> )
<b>4a</b>	9.16 (1H, с, NH); 7.82 (1H, д, $J_{7,5} = 1.8$ , H-7); 7.69 (1H, д, д, $J_{5,7} = 1.8$ , $J_{5,4} = 8.6$ , H-5); 7.01 (1H, д, $J_{4,5} = 8.6$ , H-4); 2.48 (4H, к, $J = 7.2$ , N(CH <sub>2</sub> CH <sub>3</sub> ) <sub>2</sub> ); 1.01 (6H, т, $J = 7.2$ , N(CH <sub>2</sub> CH <sub>3</sub> ) <sub>2</sub> )
<b>4b</b>	9.15 (1H, с, NH); 7.83 (1H, д, $J_{7,5} = 1.8$ , H-7); 7.68 (1H, д, д, $J_{5,7} = 1.8$ , $J_{5,4} = 8.7$ , H-5); 7.02 (1H, д, $J_{4,5} = 8.7$ , H-4); 3.02 (4H, м, N(CH <sub>2</sub> C <sub>3</sub> H <sub>7</sub> ) <sub>2</sub> ); 1.34–1.43 (4H, м, N(CH <sub>2</sub> CH <sub>2</sub> C <sub>2</sub> H <sub>5</sub> ) <sub>2</sub> ); 0.96–1.23 (4H, м, N(C <sub>2</sub> H <sub>4</sub> CH <sub>2</sub> CH <sub>3</sub> ) <sub>2</sub> ); 0.79–0.85 (6H, м, N(C <sub>3</sub> H <sub>6</sub> CH <sub>3</sub> ) <sub>2</sub> )
<b>4c</b>	7.82 (1H, д, $J_{7,5} = 1.8$ , H-7); 7.67 (1H, д, д, $J_{5,7} = 1.8$ , $J_{5,4} = 8.6$ , H-5); 7.00 (1H, д, $J_{4,5} = 8.6$ , H-4); 3.38 (3H, с, 3-CH <sub>3</sub> ); 2.49 (4H, к, $J = 7.2$ , N(CH <sub>2</sub> CH <sub>3</sub> ) <sub>2</sub> ); 1.02 (6H, т, $J = 7.2$ , N(CH <sub>2</sub> CH <sub>3</sub> ) <sub>2</sub> )
<b>4d</b>	7.83 (1H, д, $J_{7,5} = 1.8$ , H-7); 7.67 (1H, д, д, $J_{5,7} = 1.8$ , $J_{5,4} = 8.7$ , H-5); 7.01 (1H, д, $J_{4,5} = 8.7$ , H-4); 3.38 (3H, с, 3-CH <sub>3</sub> ); 3.03–3.21 (4H, м, N(CH <sub>2</sub> C <sub>3</sub> H <sub>7</sub> ) <sub>2</sub> ); 1.51–1.64 (4H, м, N(CH <sub>2</sub> CH <sub>2</sub> C <sub>2</sub> H <sub>5</sub> ) <sub>2</sub> ); 1.33–1.43 (4H, м, N(C <sub>2</sub> H <sub>4</sub> CH <sub>2</sub> CH <sub>3</sub> ) <sub>2</sub> ); 0.72–0.81 (6H, м, N(C <sub>3</sub> H <sub>6</sub> CH <sub>3</sub> ) <sub>2</sub> )
<b>5a</b>	9.16 (1H, с, NH); 7.76 (1H, д, $J_{7,5} = 1.8$ , H-7); 7.66 (1H, д, д, $J_{5,7} = 1.8$ , $J_{5,4} = 8.8$ , H-5); 7.00 (1H, д, $J_{4,5} = 8.8$ , H-4); 3.58 (4H, к, $J = 6.9$ , N(CH <sub>2</sub> CH <sub>2</sub> ) <sub>2</sub> CH <sub>2</sub> ); 2.85 (4H, к, $J = 6.9$ , N(CH <sub>2</sub> CH <sub>2</sub> ) <sub>2</sub> CH <sub>2</sub> ); 2.47 (2H, м, N(C <sub>2</sub> H <sub>4</sub> ) <sub>2</sub> CH <sub>2</sub> )
<b>5b</b>	9.14 (1H, с, NH); 7.78 (1H, д, $J_{7,5} = 1.8$ , H-7); 7.67 (1H, д, д, $J_{5,7} = 1.8$ , $J_{5,4} = 8.8$ , H-5); 7.04 (1H, д, $J_{4,5} = 8.8$ , H-4); 3.59 (4H, т, $J = 8.0$ , N(CH <sub>2</sub> ) <sub>2</sub> ); 2.84 (4H, т, $J = 8.0$ , O(CH <sub>2</sub> ) <sub>2</sub> )
<b>5c</b>	7.77 (1H, д, $J_{7,5} = 1.8$ , H-7); 7.68 (1H, д, д, $J_{5,7} = 1.8$ , $J_{5,4} = 8.7$ , H-5); 7.03 (1H, д, $J_{4,5} = 8.7$ , H-4); 3.59 (4H, т, $J = 6.9$ , N(CH <sub>2</sub> CH <sub>2</sub> ) <sub>2</sub> CH <sub>2</sub> ); 3.38 (3H, с, 3-CH <sub>3</sub> ); 2.82 (4H, т, $J = 6.9$ , N(CH <sub>2</sub> CH <sub>2</sub> ) <sub>2</sub> CH <sub>2</sub> ); 2.44 (2H, м, N(C <sub>2</sub> H <sub>4</sub> ) <sub>2</sub> CH <sub>2</sub> )
<b>5d</b>	7.78 (1H, д, $J_{7,5} = 1.8$ , H-7); 7.66 (1H, д, д, $J_{5,7} = 1.8$ , $J_{5,4} = 8.7$ , H-5); 7.03 (1H, д, $J_{4,5} = 8.7$ , H-4); 3.58 (4H, т, $J = 8.0$ , N(CH <sub>2</sub> ) <sub>2</sub> ); 3.38 (3H, с, 3-CH <sub>3</sub> ); 2.85 (4H, т, $J = 8.0$ , O(CH <sub>2</sub> ) <sub>2</sub> )
<b>6a</b>	9.17 (1H, с, NH); 7.77 (1H, д, $J_{7,5} = 1.8$ , H-7); 7.65 (1H, д, д, $J_{5,7} = 1.8$ , $J_{5,4} = 8.8$ , H-5); 7.01 (1H, д, $J_{4,5} = 8.8$ , H-4)
<b>6b</b>	7.78 (1H, д, $J_{7,5} = 1.8$ , H-7); 7.67 (1H, д, д, $J_{5,7} = 1.8$ , $J_{5,4} = 8.8$ , H-5); 7.02 (1H, д, $J_{4,5} = 8.8$ , H-4); 3.38 (3H, с, 3-CH <sub>3</sub> )

В спектрах ЯМР  $^1\text{H}$  соединений **2–6** (табл. 3) имеются характерные сигналы протонов бензоксазолинового фрагмента: дублет протона H-4 в области 7.00–7.05 ( $J_{4,5} = 8.6\text{--}8.8$ ), дублет дублетов протона H-5 при 7.65–7.72 ( $J_{5,4} = 8.6\text{--}8.8$  и  $J_{5,7} = 1.6\text{--}1.9$ ), а также дублет протона H-7 при 7.76–7.83 м. д. ( $J_{7,5} = 1.6\text{--}1.8$  Гц). Сигналы групп NH проявляются в слабом поле (9.15–9.17), а сигналы алкильных групп амидной части – в сильном поле (0.72–3.59 м. д.).

## ЭКСПЕРИМЕНТАЛЬНАЯ ЧАСТЬ

ИК спектры записаны на фурье-спектрометре фирмы Perkin–Elmer модели 2000 в таблетках KBr. Спектры ЯМР  $^1\text{H}$  сняты на приборе UNITY 400<sup>+</sup> (400 МГц) в  $\text{DMSO-d}_6$ , внутренний стандарт ТМС. Масс-спектры зарегистрированы на приборе Kratos MS-30 с непосредственным вводом образца в источник ионов (энергия ионизации 70 эВ). Контроль за ходом реакций и индивидуальностью синтезированных соединений осуществлялся методом ТСХ на пластинах Silufol UV-254 в системе растворителей бензол–ацетон, 10:1, проявитель – 1 г  $\text{KMnO}_4$  в 4 мл  $\text{H}_2\text{SO}_4$  и 96 мл  $\text{H}_2\text{O}$ .

**Бензоксазолин-2-он (1a)** получен циклизацией *o*-аминофенола с мочевиной [12], а **3-метилбензоксазолин-2-он (1b)** – метилированием соединения **1a** диметилсульфатом в условиях межфазного катализа [13].

**6-Хлорсульфонилбензоксазолин-2-он (2a) и 3-метил-6-хлорсульфонилбензоксазолин-2-он (2b).** А. К 5.83 г (50 ммоль) хлорсульфоновой кислоты, охлаждённой до 5–10 °C, при перемешивании порциями добавляют 10 ммоль соединения **1a** или **1b** с такой скоростью, чтобы температура реакционной массы не превышала 15 °C. Далее реакционную смесь нагревают до 50–60 °C, выдерживают при этой температуре в течение 2 ч и выливают на измельчённый лёд. Полученный осадок продукта **2** отфильтровывают, промывают водой и перекристаллизовывают.

**Соединения 2a,b** получают также из сульфокислот **3a,b** по методике Б (см. ниже).

**2-Оксобензоксазолин-6-сульфокислота (3a) и 3-метил-2-оксобензоксазолин-6-сульфокислота (3b).** Смесь 10 ммоль соединения **2a,b** и 20 мл воды кипятят 2 ч, растворитель частично отгоняют, осадок продукта **3a,b** отфильтровывают и перекристаллизовывают из воды.

Обработкой сульфокислот **3a,b** хлорсульфоновой кислотой по методике Б и получают соединения **2a,b**.

Б. К 2.33 г (20 ммоль) хлорсульфоновой кислоты, охлаждённой до 0 °C, порциями добавляют 10 ммоль сульфокислоты **3a,b** с такой скоростью, чтобы температура реакционной массы не превышала 10 °C. Смесь нагревают до 50–60 °C, выдерживают при этой температуре 1 ч и выливают на измельчённый лёд. Полученный осадок продукта **2** отфильтровывают, промывают водой и перекристаллизовывают. Образцы соединений **2a,b**, полученные по методикам А и Б идентичны (отсутствие депрессии температуры плавления смешанной пробы).

**Диэтил- (4a) и дибутиламида 2-оксобензоксазолин-6-сульфокислоты (4b), диэтил- (4c) и дибутиламида 3-метил-2-оксобензоксазолин-6-сульфокислоты (4d).** К раствору 10 ммоль соединения **2** в 20 мл ацетона добавляют по каплям 10 ммоль диэтил- или дибутиламина и 1.01 г (10 ммоль) триэтиламина в 10 мл ацетона. Реакционную массу перемешивают при комнатной температуре в течение 2 ч, затем ацетон отгоняют, к остатку добавляют 100 мл воды. Полученный осадок продукта **4** отфильтровывают и перекристаллизовывают.

**6-Пиперидиносульфонил- (5a) и 6-морфолиносульфонилбензоксазолин-2-он (5b), 3-метил-6-пиперидиносульфонил- (5c) и 3-метил-6-морфолиносульфонилбензоксазолин-2-он (5d)** синтезируют аналогично диалкиламидам **4a-d**, используя вместо диалкиламина 10 ммоль пиперидина или морфолина.

**6-Меркаптобензоксазолин-2-он (6a) и 6-меркапто-3-метилбензоксазолин-2-он (6b).** К суспензии 10 ммоль соединения **2a,b** в 30 мл соляной кислоты добавляют порциями 9 г (40 ммоль)  $\text{SnCl}_2 \cdot 2\text{H}_2\text{O}$ . Реакционную смесь нагревают до 50 °C и выдерживают при этой температуре в течение 4 ч при интенсивном перемешивании. Полученный осадок продукта **6** отфильтровывают и перекристаллизовывают.

## СПИСОК ЛИТЕРАТУРЫ

1. К. Б. Абдираймов, Н. С. Мухамедов, М. Ж. Айымбетов, Х. М. Шахидоятов, *XTC*, 1165 (2010). [*Chem. Heterocycl. Comp.*, **46**, 941 (2010)].
2. E. Honvanen, I. A. Virtanen, *Acta Chem. Scand.*, **16**, 221 (1961).
3. J. B. Bredenberry, E. Honkanen, A. I. Virtanen, *Acta Chem. Scand.*, **16**, 135 (1962).
4. E. E. Smissman, J. B. Lapidus, S. D. Beck, *J. Am. Chem. Soc.*, **79**, 4697 (1957).
5. C. S. Tang, S. H. Chang, D. Hoo, K. H. Yanagihara, *Phytochemistry*, **14**, 2077 (1975).
6. Ch.-M. Chen, M.-T. Chen, *Phytochemistry*, **15**, 1997 (1976).
7. Н. С. Мухамедов, Э. Л. Кристаллович, В. Н. Плугарь, К. Гиясов, Н. А. Алиев, Н. Д. Абдуллаев, *XTC*, 1136 (1994). [*Chem. Heterocycl. Comp.*, **30**, 982 (1994)].
8. Д. А. Душамов, Н. С. Мухамедов, Х. М. Бобокулов, Н. А. Алиев, *Химия природ. соед.*, 83 (2001).
9. Н. С. Мухамедов, Д. А. Душамов, Н. А. Алиев, Х. М. Бобокулов, М. Г. Левкович, Н. Д. Абдуллаев, *XTC*, 380 (2002). [*Chem. Heterocycl. Comp.*, **38**, 344 (2002)].
10. Д. А. Душамов, Н. С. Мухамедов, Н. А. Алиев, Х. М. Бобокулов, М. Г. Левкович, Н. Д. Абдуллаев, *XTC*, 503 (2002). [*Chem. Heterocycl. Comp.*, **38**, 438 (2002)].
11. S. Toyoshima, N. Morishita, *Yakugoku Zasshi*, **86**, 203 (1966).
12. J. Scam, *J. Pharm. Sci.*, **58**, 1043 (1969).
13. Р. Ш. Курязов, Н. С Мухамедов, Х. М. Шахидоятов, *Химия и химическая технология*, № 1, 50 (2008).

<sup>a</sup> Хорезмская академия Мамуна,  
Хорезм, Республика Узбекистан  
e-mail: mamajon.k@mail.ru

Поступило 25.07.2010

<sup>b</sup> Ургенчский государственный университет  
им. Аль-Хорезми, Ургенч 220100,  
Республика Узбекистан  
e-mail: dilshod.d@rambler.ru

<sup>c</sup> Институт химии растительных веществ  
им. акад. С. Ю. Юнусова АН Республики Узбекистан,  
Ташкент 100170, ул. Улугбека, 77, Республика Узбекистан  
e-mail: nasirxon@rambler.ru